

24.3 Algoritmo de Dijkstra

O algoritmo de Dijkstra resolve o problema de caminhos mais curtos de única origem em um grafo orientado ponderado $G = (V, E)$ para o caso no qual todos os pesos de arestas são não negativos. Então, nesta seção, iremos supor que $w(u, v) \geq 0$ para cada aresta $(u, v) \in E$. Como veremos, com uma boa implementação, o tempo de execução do algoritmo de Dijkstra é inferior ao do algoritmo de Bellman-Ford.

O algoritmo de Dijkstra mantém um conjunto S de vértices cujos pesos finais de caminhos mais curtos desde a origem s já foram determinados. O algoritmo seleciona repetidamente o vértice $u \in V - S$ com a estimativa mínima de caminhos mais curtos, adiciona u a S e relaxa todas as arestas que saem de u . Na implementação a seguir, manteremos uma fila de prioridade mínima Q de vértices, tendo como chaves seus valores de d .

DIJKSTRA(G, w, s)

1 INITIALIZE-SINGLE-SOURCE(G, s)

2 $S \leftarrow \emptyset$

3 $Q \leftarrow V[G] \rightarrow$ fila de prioridade de todos os vértices de G

4 **while** $Q \neq \emptyset$

5 **do** $u \leftarrow \text{EXTRACT-MIN}(Q) \rightarrow$ menor $d[]$

6 $S \leftarrow S \cup \{u\}$

7 **for** cada vértice $v \in \text{Adj}[u]$

8 **do** RELAX(u, v, w)

O algoritmo de Dijkstra relaxa arestas como mostra a Figura 24.6. A linha 1 executa a inicialização habitual dos valores de d e π , e a linha 2 inicializa o conjunto S como o conjunto vazio. O algoritmo mantém o invariante de que $Q = V - S$ no início de cada iteração do loop **while** das linhas 4 a 8. A linha 3 inicializa a fila de prioridade mínima Q para conter todos os vértices em V ; tendo em vista que $S = \emptyset$ nesse momento, o invariante é verdadeiro após a linha 3. Em cada passagem pelo loop **while** das linhas 4 a 8, um vértice u é extraído de $Q = V - S$ e inserido no conjunto S , mantendo assim o invariante. (Na primeira passagem por esse loop, $u = s$.) Então, o vértice u tem a menor estimativa de caminhos mais curtos em comparação com qualquer vértice em $V - S$. Em seguida, as linhas 7 e 8 relaxam cada aresta (u, v) que saem de u , atualizando assim a estimativa $d[v]$ e o predecessor $\pi[v]$ se o caminho mais curto até v pode ser melhorado mediante a passagem por u . Observe que os vértices nunca são inseridos em Q após a linha 3, e que cada vértice é extraído de Q e inserido em S exatamente uma vez, de modo que o loop **while** das linhas 4 a 8 itere exatamente $|V|$ vezes.

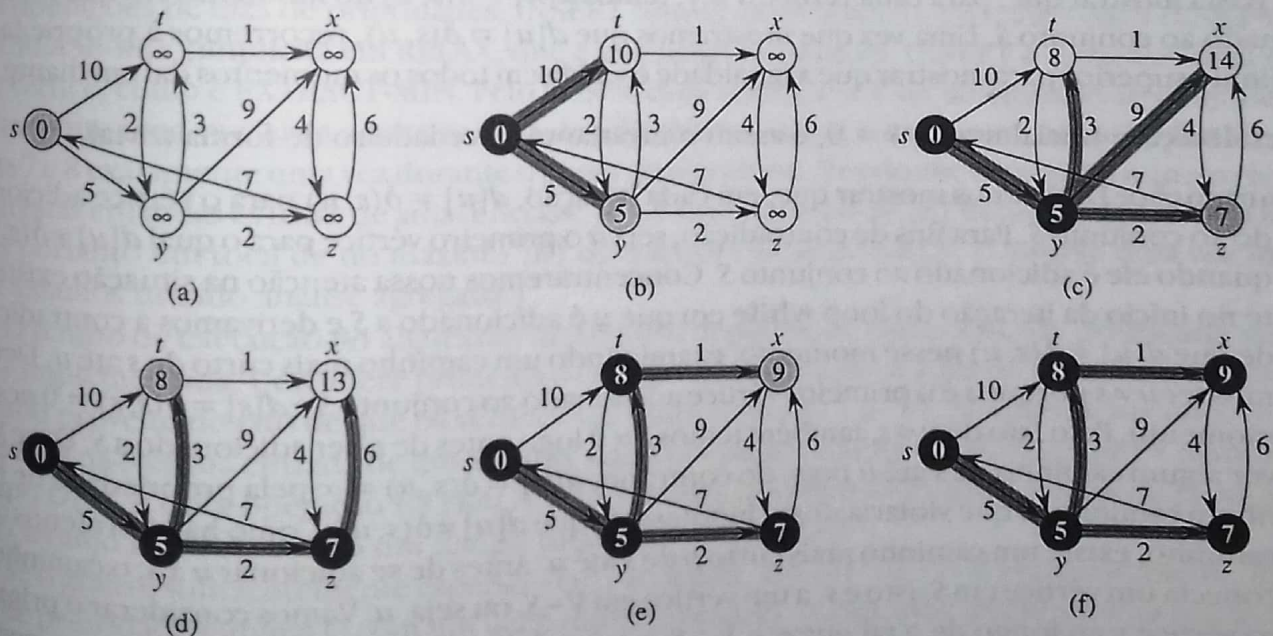


FIGURA 24.6 A execução do algoritmo de Dijkstra. A origem s é o vértice mais à esquerda. As estimativas de caminhos mais curtos são mostradas dentro dos vértices, e as arestas sombreadas indicam valores de predecessores. Vértices pretos estão no conjunto S , e vértices brancos estão na fila de prioridade mínima $Q = V - S$. (a) A situação imediatamente antes da primeira iteração do loop **while** das linhas 4 a 8. O vértice sombreado tem o valor de d mínimo e é escolhido como vértice u na linha 5. (b)–(f) A situação após cada iteração sucessiva do loop **while**. O vértice sombreado em cada parte é escolhido como vértice u na linha 5 da próxima iteração. Os valores de d e π mostrados na parte (f) são os valores finais

Pelo fato do algoritmo de Dijkstra sempre escolher o vértice “mais leve” ou “mais próximo” em $V - S$ para adicionar ao conjunto S , dizemos que ele utiliza uma estratégia gulosa. As estratégias gulosas são apresentadas em detalhes no Capítulo 16, mas você não precisa ler aquele capítulo para entender o algoritmo de Dijkstra. As estratégias gulosas nem sempre produzem resultados ótimos em geral, mas, como mostram o teorema a seguir e seu corolário, o algoritmo de Dijkstra realmente calcula caminhos mais curtos. A chave é mostrar que cada vez que um vértice u é inserido no conjunto S , temos $d[u] = \delta(s, u)$.

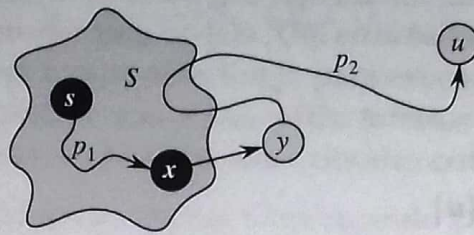


FIGURA 24.7 A prova do Teorema 24.6. O conjunto S é não vazio imediatamente antes do vértice u ser inserido nele. Um caminho mais curto p desde a origem s até o vértice u pode ser decomposto em $s \xrightarrow{p_1} x \rightarrow y \xrightarrow{p_2} u$, onde y é o primeiro vértice sobre o caminho que não está em S e $x \in S$ precede imediatamente y . Os vértices x e y são distintos, mas podemos ter $s = x$ ou $y = u$. O caminho p_2 pode reentrar ou não no conjunto S .

Teorema 24.6 (Correção do algoritmo de Dijkstra)

Se executarmos o algoritmo de Dijkstra sobre um grafo orientado ponderado $G = (V, E)$ com função peso não negativa w e origem s , ele termina com $d[u] = \delta(s, u)$ para todos os vértices $u \in V$.

Prova Usamos o loop invariante a seguir:

No início de cada iteração do loop **while** das linhas 4 a 8, $d[v] = \delta(s, v)$ para cada vértice $v \in S$.

Basta mostrar que, para cada vértice $u \in V$, temos $d[u] = \delta(s, u)$ no momento em que u é adicionado ao conjunto S . Uma vez que mostramos que $d[u] = \delta(s, u)$, recorreremos à propriedade do limite superior para mostrar que a igualdade é válida em todos os momentos daí em diante.

Inicialização: Inicialmente, $S = \emptyset$, e assim o invariante é verdadeiro de forma trivial.

Manutenção: Desejamos mostrar que, em cada iteração, $d[u] = \delta(s, u)$ para o vértice adicionado ao conjunto S . Para fins de contradição, seja u o primeiro vértice para o qual $d[u] \neq \delta(s, u)$ quando ele é adicionado ao conjunto S . Concentraremos nossa atenção na situação existente no início da iteração do loop **while** em que u é adicionado a S e derivamos a contradição de que $d[u] = \delta(s, u)$ nesse momento, examinando um caminho mais curto de s até u . Devemos ter $u \neq s$ porque s é o primeiro vértice adicionado ao conjunto S e $d[s] = \delta(s, s) = 0$ nesse momento. Pelo fato de $u \neq s$, também temos $S \neq \emptyset$ logo antes de u ser adicionado a S . Deve haver algum caminho de s até u pois, do contrário, $d[u] = \delta(s, u) = \infty$ pela propriedade de nenhum caminho, o que violaria nossa hipótese de que $d[u] \neq \delta(s, u)$. Como há pelo menos um caminho, existe um caminho mais curto p de s até u . Antes de se adicionar u a S , o caminho p conecta um vértice em S , isto é s , a um vértice em $V - S$, ou seja, u . Vamos considerar o primeiro vértice y ao longo de p tal que $y \in V - S$, e seja $x \in S$ o predecessor de y . Portanto, como mostra a Figura 24.7, o caminho p pode ser decomposto como $s \xrightarrow{p_1} x \rightarrow y \xrightarrow{p_2} u$. (Um dos caminhos p_1 ou p_2 pode não ter nenhuma aresta.)

Afirmamos que $d[y] = \delta(s, y)$ quando u é adicionado a S . Para provar essa afirmação, observe que $x \in S$. Assim, como u foi escolhido como o primeiro vértice para o qual $d[u] \neq \delta(s, u)$ quando foi adicionado a S , tínhamos $d[x] = \delta(s, x)$ quando x foi adicionado a S . A aresta (x, y) foi relaxada nesse momento, e assim a afirmação decorre da propriedade de convergência.

podemos agora obter uma contradição para provar que $d[u] = \delta(s, u)$. Como y ocorre antes de u em um caminho mais curto de s para u e todos os pesos de arestas são não negativos (especialmente das arestas do caminho p_2), temos $\delta(s, y) \leq \delta(s, u)$ e, desse modo,

$$\begin{aligned} d[y] &= \delta(s, y) \\ &\leq \delta(s, u) \\ &\leq d[u] \quad (\text{pela propriedade do limite superior}). \end{aligned} \tag{24.2}$$

Porém, como ambos os vértices u e y estavam em $V - S$ quando u foi escolhido na linha 5, temos $d[u] \leq d[y]$. Desse modo, as duas desigualdades em (24.2) são de fato igualdades, dando

$$d[y] = \delta(s, y) = \delta(s, u) = d[u].$$

Conseqüentemente, $d[u] = \delta(s, u)$, o que contradiz nossa escolha de u . Concluimos que $d[u] = \delta(s, u)$ quando u é adicionado a S , e que essa igualdade é mantida em todos os momentos daí em diante.

Término: No término, $Q = \emptyset$ e, juntamente com nosso invariante anterior de que $Q = V - S$, isso implica que $S = V$. Desse modo, $d[u] = \delta(s, u)$ para todos os vértices $u \in V$. ■

Corolário 24.7

Se executarmos o algoritmo de Dijkstra sobre um grafo orientado ponderado $G = (V, E)$ com função peso não negativa w e origem s , então, no término, o subgrafo predecessor G_π será uma árvore de caminhos mais curtos com raiz em s .

Prova Imediata a partir do Teorema 24.6 e da propriedade de subgrafo predecessor. ■

Análise

Qual é a rapidez do algoritmo de Dijkstra? Ele mantém a fila de prioridade mínima Q chamando três operações de filas de prioridades: INSERT (implícita na linha 3), EXTRACT-MIN (linha 5) e DECREASE-KEY (implícita em RELAX, que é chamado na linha 8). INSERT é invocado uma vez por vértice, como é EXTRACT-MIN. Pelo fato de cada vértice $v \in V$ ser adicionado ao conjunto S exatamente uma vez, cada aresta na lista de adjacências $Adj[v]$ é examinada no loop **for** das linhas 7 e 8 exatamente uma vez durante o curso do algoritmo. Tendo em vista que o número total de arestas em todas as listas de adjacências é $|E|$, existe um total de $|E|$ iterações desse loop **for**, e há portanto um total de no máximo $|E|$ operações DECREASE-KEY. (Observe uma vez mais que estamos usando análise agregada.)

O tempo de execução do algoritmo de Dijkstra depende de como a fila de prioridade mínima é implementada. Considere primeiro o caso no qual mantemos a fila de prioridade mínima, tirando proveito do fato de que os vértices são numerados de 1 a $|V|$. Simplesmente armazenamos $d[v]$ na v -ésima entrada de um arranjo. Cada operação INSERT e DECREASE-KEY demora o tempo $O(1)$, e cada operação EXTRACT-MIN demora o tempo $O(V)$ (pois temos de pesquisar pelo arranjo inteiro), dando um tempo total $O(V^2 + E) = O(V^2)$.

Se o grafo é suficientemente esparsa – em particular, $E = o(V^2/\lg V)$ – é prático implementar a fila de prioridade mínima Q com um heap mínimo binário. (Conforme discutimos na Seção 6.5, um detalhe de implementação importante é que os vértices e os elementos do heap correspondentes devem manter descritores um para o outro.) Cada operação EXTRACT-MIN demora então o tempo $O(\lg V)$. Como antes, existem $|V|$ dessas operações. O tempo para construir o heap mínimo binário é $O(V)$. Cada operação DECREASE-KEY demora o tempo $O(\lg V)$, e ainda há no máximo $|E|$ de tais operações. Então, o tempo de execução total é $O((V + E) \lg V)$, que é $O(E \lg V)$ se todos os vértices são acessíveis a partir da origem. Esse tempo de execução é uma melhoria sobre o tempo $O(V^2)$ de implementação direta se $E = o(V^2/\lg V)$.

Podemos de fato alcançar um tempo de execução igual a $O(V \lg V + E)$ implementando a fila de prioridade mínima Q com um heap de Fibonacci (ver Capítulo 20). O custo amortizado de cada uma das $|V|$ operações EXTRACT-MIN é $O(\lg V)$, e cada chamadas de DECREASE-KEY, das quais existe no máximo $|E|$, demora apenas o tempo amortizado $O(1)$. Historicamente, o desenvolvimento de heaps de Fibonacci foi motivado pela observação de que, no algoritmo de Dijkstra, existem tipicamente muito mais chamadas DECREASE-KEY que chamadas EXTRACT-MIN; assim, qualquer método de redução do tempo amortizado de cada operação DECREASE-KEY para $o(\lg V)$ sem aumentar o tempo amortizado de EXTRACT-MIN produziria uma implementação assintoticamente mais rápida do que aquela que utiliza heaps binários.

O algoritmo de Dijkstra exibe alguma semelhança, tanto em relação à busca em largura (ver Seção 22.2) quanto em relação ao algoritmo de Prim para calcular árvores espalhadas mínimas (ver Seção 23.2). Ele é semelhante à busca em largura no fato de que o conjunto S corresponde ao conjunto de vértices pretos em uma busca em largura; exatamente como os vértices em S têm seus pesos finais de caminhos mais curtos, os vértices pretos em uma busca em largura têm suas distâncias corretas primeiro na extensão. O algoritmo de Dijkstra é semelhante ao algoritmo de Prim no fato de que ambos os algoritmos usam uma fila de prioridade mínima para encontrar o vértice “mais leve” fora de um conjunto dado (o conjunto S no algoritmo de Dijkstra, e a árvore que está sendo aumentada no algoritmo de Prim), inserem esse vértice no conjunto e ajustam os pesos dos vértices restantes fora do conjunto de acordo com ele.

Exercícios

24.3-1

Execute o algoritmo de Dijkstra sobre o grafo orientado da Figura 24.2, primeiro usando o vértice s como origem, e depois usando o vértice y como origem. No estilo da Figura 24.6, mostre os valores de d e π e os vértices no conjunto S após cada iteração do loop **while**.

24.3-2

Forneça um exemplo simples de um grafo orientado com arestas de peso negativo para o qual o algoritmo de Dijkstra produza respostas incorretas. Por que a prova do Teorema 24.6 não é válida quando são permitidas arestas de peso negativo?

24.3-3

Suponha que mudamos a linha 4 do algoritmo de Dijkstra para o seguinte:

4 **while** $|Q| > 1$

Essa mudança faz o loop **while** ser executado $|V| - 1$ vezes em lugar de $|V|$ vezes. Esse algoritmo proposto é correto?

24.3-4

Temos um grafo orientado $G = (V, E)$ no qual cada aresta $(u, v) \in E$ tem um valor associado $r(u, v)$, o qual é um número real no intervalo $0 \leq r(u, v) \leq 1$ que representa a confiabilidade de um canal de comunicação do vértice u até o vértice v . Interpretamos $r(u, v)$ como a probabilidade de que o canal de u até v não venha a falhar, e supomos que essas probabilidades são independentes. Forneça um algoritmo eficiente para encontrar o caminho mais confiável entre dois vértices dados.

24.3-5

Seja $G = (V, E)$ um grafo orientado ponderado com função peso $w : E \rightarrow \{1, 2, \dots, W\}$ para algum inteiro positivo W , e suponha que não existam dois vértices com os mesmos pesos de caminhos mais curtos a partir do vértice de origem s . Agora, suponha que definimos um grafo orientado não ponderado $G' = (V \cup V', E')$ substituindo cada aresta $(u, v) \in E$ por $w(u, v)$ arestas de peso unitário em série. Quantos vértices G' tem? Suponha agora que executamos uma busca em